

1 図1のように、鉛直上向きで磁束密度 B の一様な磁界(磁場)中を、長さ R の細い導体棒 OP がその一端の点 O を中心として、水平面内を一定の角速度 ω で回転している。このとき、導体棒 OP 中の自由電子が磁界からローレンツ力を受けるために、 OP 間には誘導起電力が生じる。点 O から距離 r の点を Q 、電子の電荷を $-e$ 、質量を m として、以下の問いに答えよ。

問1 点 Q における自由電子が、磁界から受けるローレンツ力の大きさ f を、 B 、 ω 、 r 、 e を用いて表せ。また、その向きは“ O から P ”、“ P から O ”のうちどちらか、答えよ。

問2 問1のローレンツ力を受けた自由電子が移動することにより、導体棒中には電界(電場)が作られる。点 Q における電界の強さ E を、 B 、 ω 、 r を用いて表せ。

問3 点 Q における電界の強さ E を r の関数 ($0 \leq r \leq R$) としてグラフに示せ。グラフには、必要とされる物理量の値を記入すること。

問4 図1において、点 Q 近傍の長さ Δr の微小部位を考える。 Δr の両端には、自由電子の移動により電界が作られ、微小電位差 ΔV が生じる。 ΔV を B 、 ω 、 r 、 Δr を用いて表せ。

問5 OP 間に生じる誘導起電力の大きさ V は、 Δr の導体棒を長さ R になるまでつなぎ合わせたものと等価となる。 V を B 、 R 、 ω を用いて表せ。

問6 $B = 0.50 \text{ T}$ 、 $\omega = 88 \text{ rad/s}$ のとき、点 Q において、自由電子が受けるローレンツ力の大きさ f に対し、遠心力の大きさ F が十分に小さいことを確かめたい。 $\frac{F}{f}$ の値を有効数字2桁で求めよ。ただし、電子の比電荷 $\frac{e}{m} = 1.76 \times 10^{11} \text{ C/kg}$ とする。

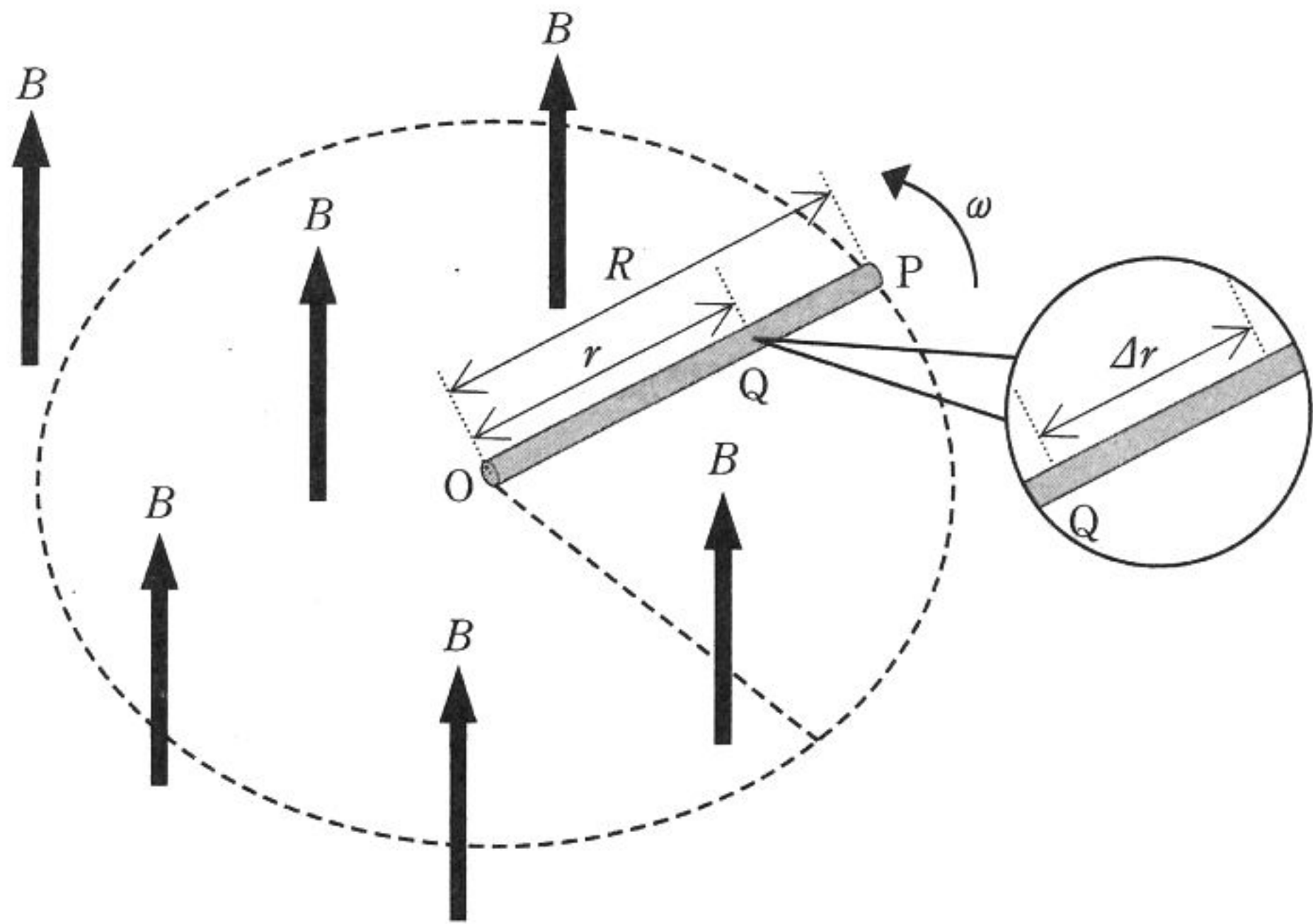


图 1

質量 m_p の惑星探査船(以下, 探査船)と質量 $M_0 (> m_p)$ の本体からなる全質量 $M (= M_0 + m_p)$ の宇宙ステーション S(以下, S)を, 図 2-1 のように, 地表上の点 A から地表に対して鉛直上向きに, 速さ V_0 で打ち上げた。このとき, S が到達できる地表からの最大高度は h であった。地球は半径 R , 質量 M_E の密度が一様な球で, 静止しているものとする。また, 地球の中心を O, A から h の距離にある点を P とし, 点 O, A, P は同一直線 L 上にあるものとする。

万有引力定数を G , 地表における重力加速度を g として, 以下の問いに答えよ。ただし, 探査船, 本体および S は, それぞれ, 質点とみなすことができるものとし, これらと地球との間に働く万有引力に対して, 探査船と本体との間の万有引力, 他の天体との間の相互作用, 地球の大気の影響などは無視できるものとする。

問 1 地表における重力加速度 g と万有引力定数 G は $GM_E = gR^2$ を満たす。いま, S が最大高度 h の点 P に達したとき, S に働く万有引力の大きさ F_S および位置エネルギー U_S を, M, g, R, h を用いて表せ。ただし, 万有引力による位置エネルギーの基準点は無限遠点とする。

問 2 最大高度 h を V_0, g, R を用いて表せ。

問 3 S が点 P に達した直後, L と垂直の向きに速さ V_1 の速度を S に与え, O を中心として半径 $R + h$ の等速円運動をさせた。 V_1 を h, g, R を用いて表せ。

問 4 次に, 等速円運動をしている S から, 探査船を, S の速度と同一の向きに, 本体に対して速さ v_p で発射し, 本体と分離した。探査船が無限遠方に到達できるために必要な v_p の最小値 v_m を, V_1 を用いて表せ。

問 5 無限遠方に向けて飛行していた探査船は, その後, 地球への帰還の途に付いた。帰還飛行において, 探査船は, 図 2-2 のように, O から $2R$ の距離

にあるL上の点BにLと垂直の向きに速さ v_B で突入し、BCを長軸とする楕円軌道に入り周回運動をした。ただし、点CはOから $3R$ の距離にあるL上の点である。

探査船がCを通過するときの速さ v_C と v_B の比 $\frac{v_C}{v_B}$ を求めよ。また、 v_B を g , R を用いて表せ。

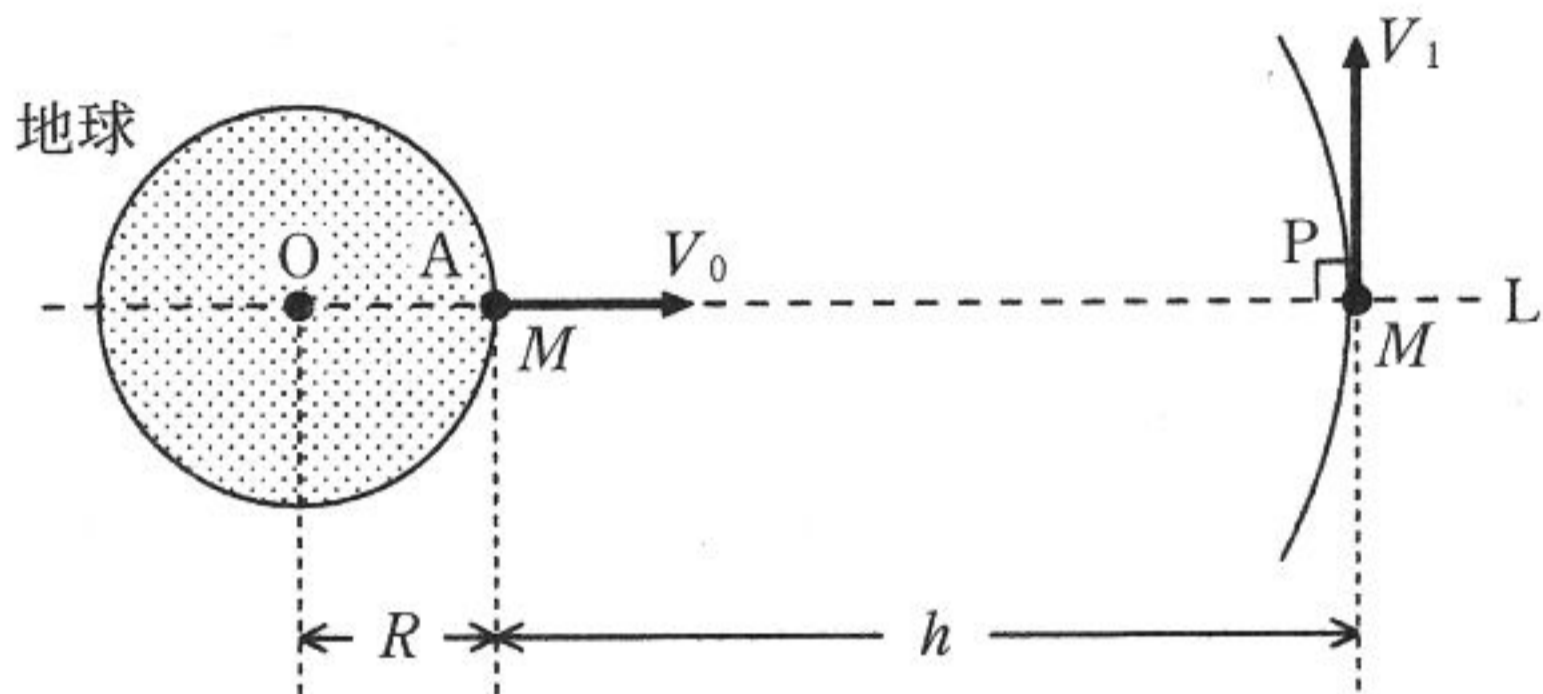


図 2-1

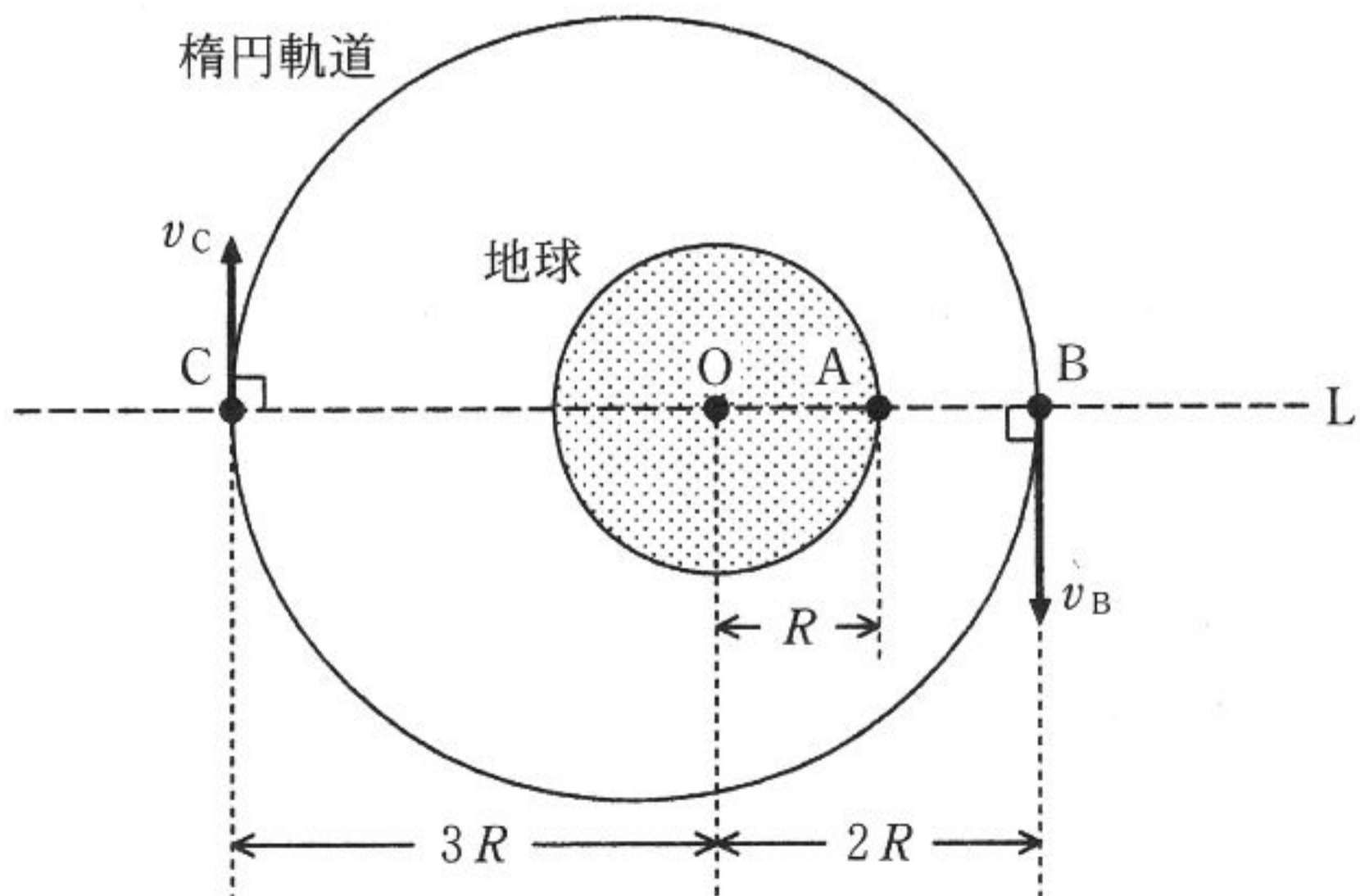


図 2-2

透明で正方形型の薄い平面ガラス板(一辺の長さは a)を2枚向い合わせにして、空气中で光の干渉実験を行う。いま、下部ガラス板の一辺の中心を点 O 、向かい合った他辺の中心を点 A とし、線分 OA を x 軸上にとる。さらに、点 O を原点とし下部ガラス板に対し垂直上向きに y 軸をとると、図3のようになった。この図より、原点 O での2枚のガラス板の隙間は d であり、また、上部ガラス板は下部ガラス板に対し角度 θ 傾いていることがわかる。この θ は十分に小さく、 $\sin \theta \doteq \theta$ 、 $\cos \theta \doteq 1$ という近似式が使用できるものとする。

いま、上部ガラス板の真上から波長 λ_A の単色光を y 軸に対して平行に入射させ、真上から観測したところ、平行で等間隔の明暗の縞模様が見えた。 $x = 0$ および $x = a$ の位置には暗線が見えた。空気の屈折率を1として、以下の問いに答えよ。

問1 原点 O から数えて m 番目(原点 O の暗線は0番目)の暗線が $x = x_m$ に現れるための条件を、 θ 、 λ_A 、 m ($m = 0, 1, 2, \dots$)、 x_m を用いて表せ。

問2 隣り合う暗線の間隔が Δx であったとする。 Δx を θ と λ_A を用いて表せ。

問3 $0 \leq x \leq a$ の範囲に暗線が全部で N_A 本見えた。暗線の間隔 Δx を、 a 、 N_A を用いて表せ。また、 θ を a 、 N_A 、 λ_A を用いて表せ。

次に、上部ガラス板の真上から入射させる単色光の波長を、 λ_A から徐々に長くしながら真上から観測した。その結果、単色光の波長を λ_B としたとき ($\lambda_A < \lambda_B$) に再び $x = 0$ の位置が暗線となり、平行で等間隔の明暗の縞模様が現れることがわかった。このとき、 $x = a$ の位置にも暗線が見えた。 $0 \leq x \leq a$ の範囲に見えた暗線の総数を N_B とし、問いに答えよ。

問4 N_B を λ_A 、 λ_B 、 N_A を用いて表せ。

問5 隙間 d を λ_A 、 λ_B を用いて表せ。

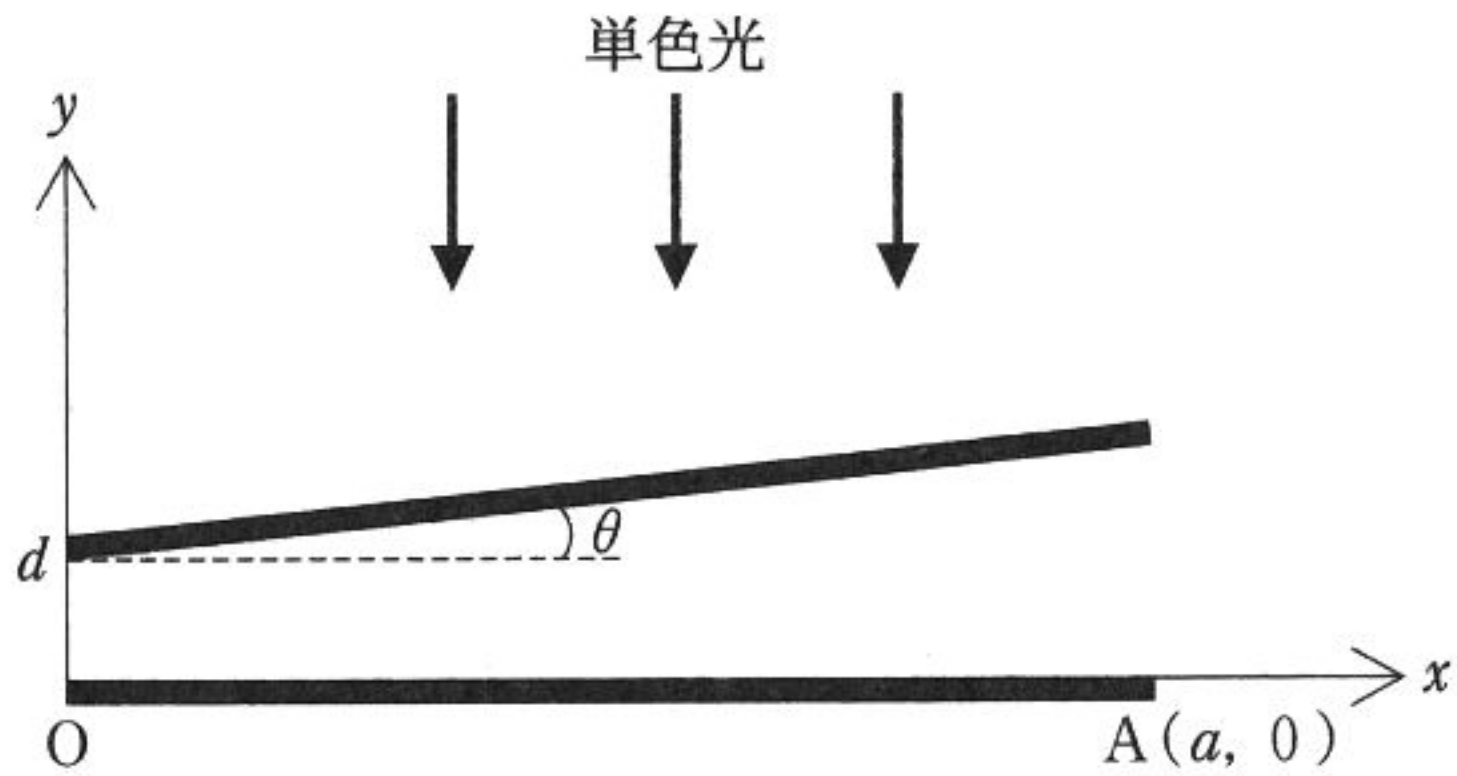


图 3

図4に示すように、断面積が等しく、なめらかに動くピストンのついた2つのシリンダーA、Bを水平な床の上に固定した。両シリンダーに同種の単原子分子理想気体(定積モル比熱を C_V とする)を1 molずつ入れてピストンで閉じこめ、ピストンどうしを伸び縮みしない棒でつないだ。シリンダーの壁とピストンは断熱材でできているが、両シリンダーの底部は熱を通すようになっていて、温度調節器が取り付けられている。はじめ、シリンダーA内とシリンダーB内の両気体(以下、気体A、気体Bとよぶ)の状態はともに圧力 p_0 、体積 V_0 、温度 T_0 であり、これらに以下の2つの過程を経る変化をさせた。問いに答えよ。

過程1：気体Bの温度を T_0 に保ちながら、気体Aを加熱し、気体Bの圧力をはじめの圧力 p_0 の α 倍($1 < \alpha < 1.5$)にした。これを状態1とする。

問1 状態1での気体Aの体積と温度を求めよ。

問2 過程1における気体Aの内部エネルギーの変化量を求めよ。

過程2：状態1から、気体Aは温度が変化しないように調節しながら加熱し、気体Bは冷却して、両気体の圧力をはじめの圧力 p_0 と同じにした。これを状態2とする。

問3 状態2での気体Aの体積を求めよ。

問4 状態2での気体Bの温度を求めよ。

問5 過程2における気体Bの内部エネルギーの変化量を求めよ。

問6 過程1における気体Aの状態変化(㉗とする)と過程2における気体Bの状態変化(㉘とする)を表す体積 V と圧力 p の関係を、ともに $\alpha = 1.25$ とし

てグラフに示せ。対応するグラフに㉞, ㉟の記号を添え, 変化の向きを矢印で示せ。

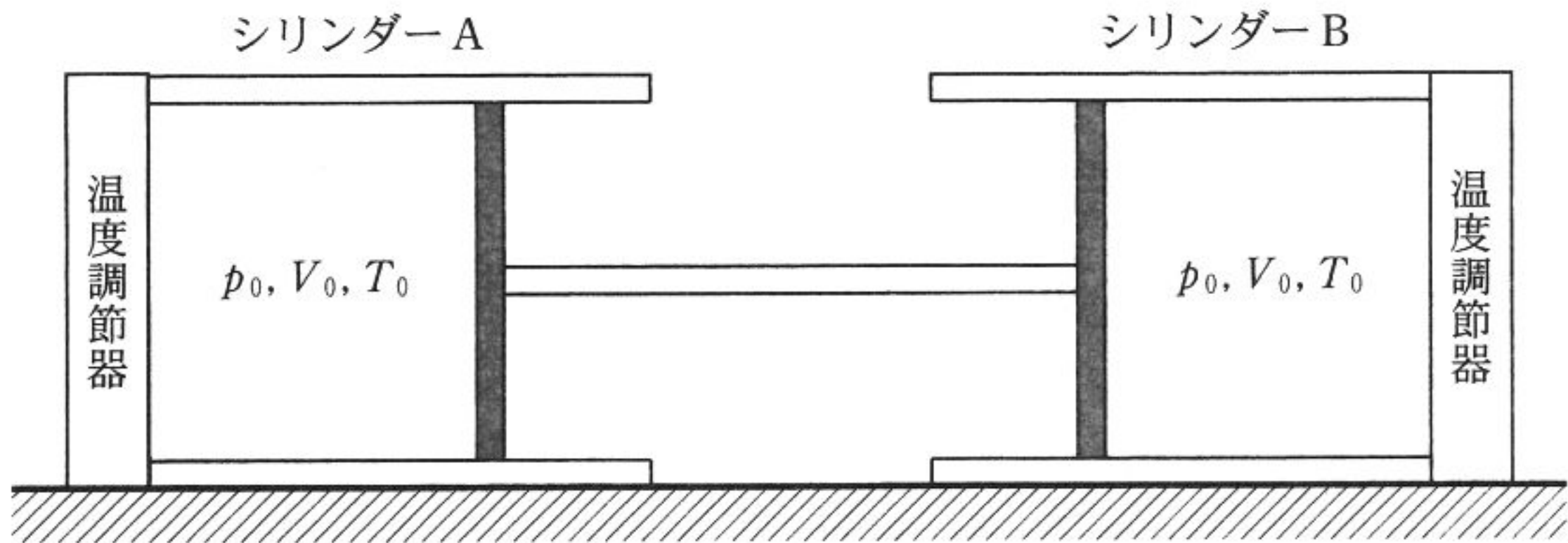


図 4

5 次の文中の(①)~(⑯)に入る適切な語句や記号, 数値, 数式を答えよ。

天然に存在する原子核には, ウランUやトリウムThなど, 不安定なものがあり, これらは放射線を出しながら, 別の原子核に変わっていく。たとえば, ${}^{232}_{90}\text{Th}$ は(①)原子核の流れである α 線を放出する α 崩壊や, (②)の流れである β 線を放出する β 崩壊を繰り返しながら最終的には安定な ${}^{208}_{82}\text{Pb}$ に変化する。この間に α 崩壊は(③)回, β 崩壊は(④)回起きる。 β 崩壊に際しては, 原子核内では(⑤)から(⑥)へと核子が変わっている。この崩壊系列はトリウム系列とよばれ, 質量数が(⑦)という特徴をもつ。なお, α 崩壊や β 崩壊で生じる新しい原子核がエネルギーの高い(⑧)状態にある場合には, 余分なエネルギーを(⑨)である γ 線として放出し, よりエネルギーの低い状態へと変化する。

α 線, β 線, γ 線のうち, 電離作用が最も強いものは(⑩)であり, 透過力が最も強いものは(⑪)である。

原子核が崩壊によって他の原子核へと変化するとき, もとの原子核の数が半分になるまでの時間のことを(⑫)といい, この(⑫)は原子核の種類によって異なる。はじめの原子核の数を N_0 , 時間 t 後に崩壊せずに残っている原子核の数を N , (⑫)を T とすると, $N = (⑬)$ と表すことができる。単位時間あたりの崩壊数は放射能の強さに相当し, N に比例する。すなわち, 放射能の強さを A とすると $A = \lambda N$ と表される。このときの比例定数 λ は崩壊定数とよばれ, $\lambda = \frac{\log_e 2}{T}$ (e は自然対数の底)で表される。 N が同じであれば, (⑫)が長いものほど放射能が(⑭), (⑫)が短いものほど放射能が(⑮)といえる。なお, 放射能の強さを表す際には(⑯)という単位を用いる。